

СООБЩЕНИЯ
ОБЪЕДИНЕННОГО
ИНСТИТУТА
ЯДЕРНЫХ
ИССЛЕДОВАНИЙ
ДУБНА



С 344.12
К-821

9/ХII-74

P15 - 8072

4734/2-74

М.И.Кривопустов, И.В.Сизов, Г.Элер

О ВОЗМОЖНОСТИ ИЗМЕРЕНИЯ ПОЛЯРИЗАЦИИ
ПРОТОНОВ, ИСПУСКАЕМЫХ В ЯДЕРНЫХ
РЕАКЦИЯХ ПОД УГЛАМИ НАЗАД,
В ЭКСПЕРИМЕНТЕ С КОЛЬЦЕВОЙ ГЕОМЕТРИЕЙ

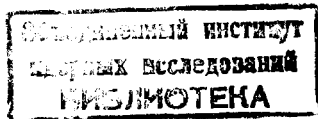
1974

ЛАБОРАТОРИЯ НЕЙТРОННОЙ ФИЗИКИ

P15 - 8072

М.И.Кривопустов, И.В.Сизов, Г.Элер

О ВОЗМОЖНОСТИ ИЗМЕРЕНИЯ ПОЛЯРИЗАЦИИ
ПРОТОНОВ, ИСПУСКАЕМЫХ В ЯДЕРНЫХ
РЕАКЦИЯХ ПОД УГЛАМИ НАЗАД,
В ЭКСПЕРИМЕНТЕ С КОЛЬЦЕВОЙ ГЕОМЕТРИЕЙ



Анализ экспериментальной информации о поляризационных явлениях в реакциях двухнуклонной передачи на легких ядрах^{/1/} показывает, что накопление данных о поляризации частиц в таких реакциях идет крайне медленно. Малая величина сечений реакций типа ($^3\text{He}, p$) при низких энергиях затрудняет использование известной методики измерения лево-правой асимметрии, которая нашла широкое применение при изучении поляризации нуклонов в реакциях с протонами, нейtronами и дейтонами. Изменению такой ситуации могут способствовать поиск и разработка новых, более эффективных методов исследования.

В работах^{/2,3/} описан впервые разработанный нами поляриметр, в котором анализирующая мишень выполнена в виде кольца. Введение этого усовершенствования позволяет в значительной мере разрешить две основные трудности поляризационных экспериментов, связанные с проблемой увеличения интенсивности и устранением /или строгим учетом/ приборных асимметрий. Высокая эффективность этой методики позволила провести подробное исследование поляризации протонов в реакции $^{12}\text{C} (^3\text{He}, p) ^{14}\text{N}$ для передних углов^{/4,7/}.

Различные применения схемы эксперимента с кольцевой анализирующей мишенью для изучения поляризационных эффектов в ядерных реакциях описаны в сообщениях^{/8-10/}. Однако до сих пор эта методика не была использована для исследования поляризации частиц, вылетающих из мишени под задними углами. С целью восполнения этого пробела была выполнена данная методическая работа.

В настоящем сообщении обсуждаются вопросы разработки кольцевого поляриметра для измерения поляризации нуклонов, образующихся в ядерных реакциях и вылетающих из мишени под задними углами, и приводятся результаты первых измерений поляризации протонов из реакции $^{12}\text{C}(\text{He}_3, p)^{14}\text{N}$ /осн. состояние/ для углов $\theta > 90^\circ$. Надежность определения поляризации проверяется контрольным опытом и сравнением с экспериментальными данными, полученными из измерения лево-правой асимметрии при упругом рассеянии протонов исследуемого канала реакции.

1. МЕТОДИКА ЭКСПЕРИМЕНТА

Разработка методики проводилась с использованием пучка ионов, ускоряемых на электростатическом генераторе ЭГ-5 Лаборатории нейтронной физики, для случая реакции ($^3\text{He}, p$) на углероде-12. Схема экспериментального устройства для измерения поляризации протонов, вылетающих из мишени под углами $\theta > 90^\circ$, показана на рис. 1. Ионный пучок после прохождения фокусирующих линз, отклоняющего магнита и системы коллимирующих диафрагм выводился в камеру с поляриметрическим блоком. По специальной трубке пучок проходит к мишени 1. Эта самоподдерживающаяся мишень приготавлялась из углеродной эмульсии с поверхностной плотностью порядка 100 мкг/см^2 .

Протоны, образующиеся в результате реакции $^{12}\text{C}(\text{He}_3, p)^{14}\text{N}$ /при низких энергиях эта реакция имеет сечение менее 10 мб/ср / и вылетающие из мишени 1 под углом $\theta > 90^\circ$, проходят через алюминиевую фольгу 2 и попадают на кольцевой анализатор 3. В измерениях в качестве анализирующего вещества использовалась углеродная пленка следующих размеров: наружный диаметр 130 мм , внутренний - 40 мм , а поверхностная плотность составляла $5-10 \text{ мг/см}^2$. Технология приготовления мишени 1 и анализатора 3 описана в нашей работе ^{1/2}. Между мишенью и анализатором устанавливается алюминиевая фольга 2, которая предотвращает попадание на анализи-

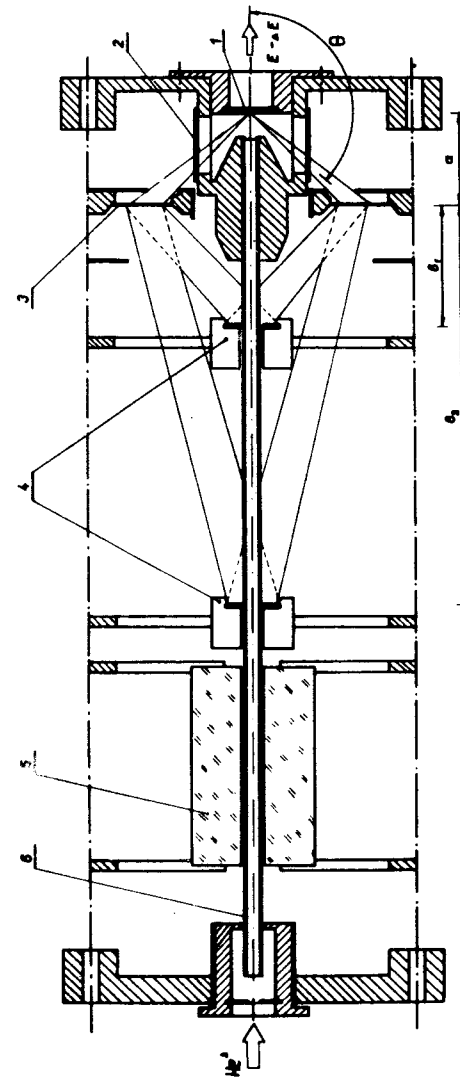


Рис. 1. Схема поляриметра с кольцевым анализатором для измерения поляризации протонов из ядерных реакций под углами "назад". 1 - мишень, 2 - алюминиевая фольга, 3 - анилинированная мишень, 4 - свинцовая защита, 5 - экранирующая трубка, а - расстояние от мишени до анализатора, b₁ и b₂ - расстояния от анализатора до первого и второго детекторов, соотвественно.

рующую мишень 3 упругорассеянных ионов гелия-3 и частиц, образующихся в реакциях на ядрах первой мишени.

После упругого рассеяния на углеродном анализаторе протоны попадают в полупроводниковые поверхностно-барьерные детекторы 4.

Особенностью поляриметра для измерений поляризации протонов под углами больше 90° является применение детекторов, выполненных в виде кольца. Изготовление кольцевых детекторов связано с рядом технологических трудностей. Из рис. 1 видно, что по оси поляриметрического блока размещена трубка 6, по которой пропускается пучок ускоренных ионов на мишень 1. Эта трубка экранирует детекторы от рассеянных ионов гелия-3 и свечения пучка. Необходимость применения трубы 6 накладывает строгие требования на геометрическую симметрию изготовления полупроводниковых детекторов /сверление отверстия, напыление/ и их размещения в оправах. Для измерений использовалось два кольцевых детектора следующих размеров: наружный диаметр 18 мм, внутренний - 7 мм.

Свинцовая защита 5 существенно ослабляла интенсивность попадающих на детекторы вторичных частиц, которые образуются в результате реакций ускоренных ионов на материале коллимирующих диафрагм, установленных в левой части поляриметра. С целью уменьшения фона детекторов ионы, которые прошли мишень 1, выводились на кварц, удаленный на расстояние 75 см от поляриметрического блока.

Введение в конструкцию поляриметра экранирующей трубы, во-первых, обусловливало дополнительные жесткие требования на точность изготовления всех деталей поляриметра, качество фокусировки выводимого в камеру пучка и его стабильность во время измерения и, во-вторых, в значительной степени усложняло юстировку камеры с поляриметрическим блоком по оси пучка ускоренных ионов. Последнее обстоятельство в эксперименте с кольцевым поляриметром для измерений поляризации частиц, вылетающих под углами $\theta > 90^\circ$, играет существенную роль для получения малого фона в измеряемых спектрах и,

в конечном счете, в обеспечении благоприятного соотношения между поляризационным эффектом и фоном.

2. РЕЗУЛЬТАТЫ ИЗМЕРЕНИЙ

Асимметрия η и поляризация частиц \vec{P}_I в эксперименте с кольцевой геометрией определяются следующими соотношениями /2/:

$$\eta = \frac{N_1 - GN_2}{N_1 + GN_2}, \quad /1/$$

/N₁ и N₂ - значения интенсивностей, получаемые из спектров протонов, регистрируемых после их рассеяния на анализаторе, а G - нормировочный фактор, учитывающий различие в геометрическом расположении детекторов относительно анализирующей мишени/;

$$\vec{P}_I = \frac{2\eta}{\eta(\bar{P}_{II1} + \bar{P}_{II2}) - (\bar{P}_{II1} - \bar{P}_{II2})} \quad /2/$$

/ \bar{P}_{II1} и \bar{P}_{II2} - средние поляризационные способности анализатора для протонов, вылетающих под разными углами в направлении первого и второго детекторов. Детектор, расположенный ближе к анализатору, считается первым /см. рис. 1//.

В работах /2,4/ приводятся выражения для вычисления G и \bar{P}_{II} и обсуждаются результаты анализа зависимостей этих величин от физических и геометрических параметров.

Первые измерения поляризации с помощью кольцевого поляриметра для задних углов были выполнены для реакции $^{12}\text{C}(^3\text{He}, p)^{14}\text{N}$. Рис. 1 иллюстрирует одну из геометрий, в которой измерялась поляризация протонов из этой реакции при энергии ускоренных ионов гелия 3,61 МэВ и угле вылета протонов из первой мишени $\theta = 135^\circ \pm 3^\circ$. Очевидно, что геометрическое расположение анализатора относительно первой мишени обусловлено значением угла θ , при котором планируется выполнить измерение, и конструктивными размерами. Размещение детекторов в поляри-

метрическом блоке производится с учетом энергетической и угловой зависимости сечения и поляризации при упругом рассеянии протонов на ядрах анализирующей мишени.

В верхней части рис. 2 показаны спектры протонов из реакции $^{12}\text{C}({}^3\text{He}, p){}^{14}\text{N}$ после рассеяния на углеродном анализаторе, зарегистрированные первым и вторым детекторами, при следующих условиях: энергия бомбардирующих ионов гелия - 3,03 MeV, угол $\theta=130^\circ$, энергетическая толщина первой мишени $\Delta E = 160$ кэВ. В работе использовалась схема регистрации протонов и методика обработки спектров, описанные в сообщениях /2,7/.

В табл. 1 приведены экспериментальные данные о поляризации протонов из реакции (${}^3\text{He}, p$) на углероде-12 и результаты контрольного опыта, обсуждаемого ниже. Значения поляризации протонов даются со знаком, определенным в соответствии с Базельской конвенцией /6/ о положительном направлении поляризации ядерных частиц со спином $1/2^+$.

Надежность измерений поляризации с помощью разработанного кольцевого поляриметра для задних углов и расчетов геометрического фактора и средней поляризационной способности проверялась постановкой контрольного опыта и сравнением с результатами экспериментальной работы, выполненной методикой измерения лево-правой асимметрии.

В контрольном эксперименте в качестве анализирующей мишени использовалось золото, имеющее для протонов данной энергии нулевую поляризационную способность, т.е. $P_{II} = 0$; тогда в соответствии с уравнением /2/, записанным в виде

$$\eta = \vec{P}_I (\vec{P}_{III} - \vec{P}_{II2}) / [\vec{P}_I (\vec{P}_{III} + \vec{P}_{II2}) - 2],$$

получается асимметрия η , равная нулю. Нижняя часть рис. 2 иллюстрирует спектр протонов из реакции $^{12}\text{C}({}^3\text{He}, p){}^{14}\text{N}$

* В сообщении /2/ специально анализируется вопрос об определении знака поляризации нуклонов в эксперименте с кольцевой геометрией.

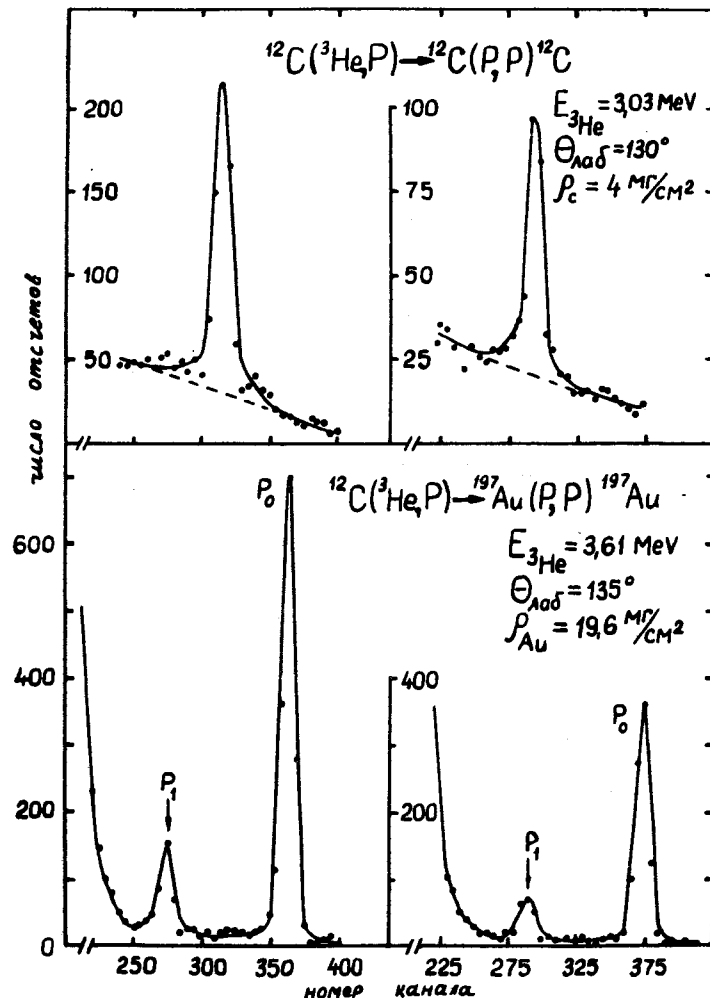


Рис. 2. Спектры протонов из реакции $^{12}\text{C}({}^3\text{He}, p){}^{14}\text{N}$, измеренные двумя детекторами после рассеяния на углеродном /вверху/ и золотом анализаторах /внизу/. Слева - спектры первого детектора, справа - спектры второго детектора.

Таблица 1
Данные о поляризации протонов в реакции $^{12}\text{C}(\text{He},\text{p})^{14}\text{N}$
/основное состояние/

Средняя энергия ионов E , кэВ	Угол вы- лета про- тонов из мишени и угловой расствор ($\theta \pm \Delta\theta$), лаб. сист.	ΔE , кэВ	Толщина первой мишени	Характеристики анализатора		Асимметрия поверх- ностная плотн. P_s , МГ/см ² •кВ	Поляризация P_L
				аналитатор	цилиндр		
2950	130 ± 3	160	$^{12}\text{C}_4$	4, II	$0,011 \pm 0,029$	$-0,023 \pm 0,063$	
3520	135 ± 3	180	$^{12}\text{C}_6$	10, I7	$+0,270 \pm 0,038$	$-0,561 \pm 0,062$	
3520	135 ± 3	180	$^{14}\text{A}_{\alpha=79}$	19, 60	$-0,014 \pm 0,021$		
2950/5/	135 ± 3	340	$^{12}\text{C}_6$	II	$-0,020 \pm 0,044$	$0,02 \pm 0,05$	

Примечание: Средняя энергия \bar{E} определяется как разность между энергией бомбардирующих ионов E и половиной энергетической толщины мишени ΔE , т.е.
 $\bar{E} = E - \Delta E/2$.

после рассеяния на золотом анализаторе с поверхностью плотностью $\rho = 19,60 \text{ мг}/\text{см}^2$. В результате обработки экспериментальных значений N_1 и N_2 , зарегистрированных в этом контрольном опыте, установлено, что асимметрия η в пределах статистической ошибки равна нулю /см. табл. 1/. Этим результатом подтверждена надежность определения поляризации с помощью описанного поляриметра.

В сообщении ^{/5/} поляризация протонов из реакции $^{12}\text{C}(\text{He},\text{p})^{14}\text{N}$ исследовалась по измерению асимметрии после упругого рассеяния протонов влево-вправо на углеродном анализаторе. Из табл. 1 видно, что значение поляризации протонов при энергии 2950 кэВ для двух близких углов $\theta = 130 \pm 3^\circ$ /настоящая работа/ и $\theta = 135 \pm 3^\circ$ ^{/5/} в пределах экспериментальных ошибок согласуются. Отметим, что в указанной работе измерение поляризации выполнялись с первой мишенью, имеющей энергетическую толщину $\Delta E = 340 \text{ кэВ}$, что более чем в два раза превышает толщину мишени в наших опытах.

Поляризация протонов для угла $\theta = 135^\circ$ и энергии ускоренных ионов 3,61 МэВ имеет отрицательное значение, равное 56%. Этот результат находится в согласии с качественными предсказаниями, сделанными на основе резонансной теории ядерных реакций при описании протонной поляризации в реакции (He,p) на углероде-12 ^{/7/}.

Таким образом, результаты первых измерений поляризации протонов из реакции $^{12}\text{C}(\text{He},\text{p})^{14}\text{N}$, несмотря на указанные выше методические трудности, свидетельствуют о возможности исследования поляризации нуклонов, вылетающих из мишени под задними углами, с помощью разработанного кольцевого поляриметра.

После опубликования наших работ ^{/2-4/} стали появляться сообщения о различных применениях схемы поляризационного эксперимента с кольцевым анализатором для исследования ядерных реакций. Так, Дойчер и др. ^{/8/} в Россендорфе в опытах по изучению поляризации протонов в упругом рассеянии использовали анализатор, изготовленный в виде цилиндра. Такая анализирующая мишень, установленная коаксиально с направлением пучка бомбардирующих частиц, показана на рис. 3а.

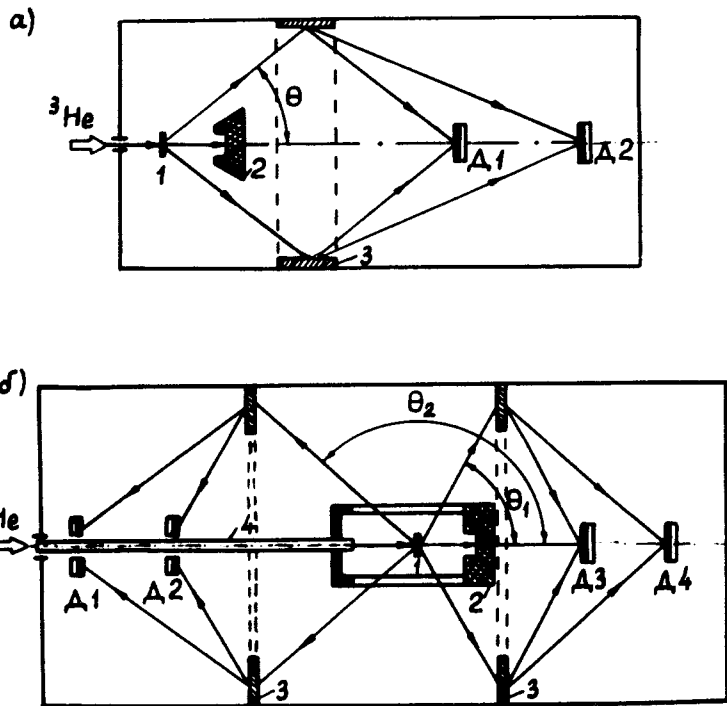


Рис. 3. Схемы кольцевых поляриметров: а/ с цилиндрическим анализатором /8/, б/ комбинированный поляриметр для одновременного измерения поляризации при двух углах: $\theta_1 < 90^\circ$ и $\theta_2 > 90^\circ$. 1 - мишень, 2 - ионная ловушка, 3 - кольцевые анализаторы, 4 - экранирующая трубка, $D_1 - D_4$ - детекторы.

Другой пример можно найти в обзоре ^{/9/} исследований поляризации нейтронов в реакции $^2\text{H}(\text{d},\text{n})^3\text{He}$, представленном на Симпозиуме по перспективам использования ускорителей низких энергий /Лондон, 1970/, в котором приведена схема расположения детекторов относительно кольцевого анализатора для измерения поляризации нейтронов.

В большом числе экспериментов в качестве анализатора поляризации частиц используется гелий. В Институте ядерных исследований /Киев/ при изучении поляризации протонов в реакции $^{20}\text{Ne}(\text{p},\text{p})^{20}\text{Ne}$ с энергией 2,2 - 3,4 МэВ Арцимовичем и др. ^{/10/} успешно использован поляриметр двойного рассеяния с кольцевой газовой мишенью. Применение кольцевого анализатора позволило увеличить эффективность поляриметра приблизительно в 50 раз по сравнению с методикой измерения лево-правой асимметрии при упругом рассеянии. Заметим, что эта количественная оценка увеличения интенсивности подтверждает результаты наших расчетов и измерений ^{/2,4/}.

В заключение укажем еще на одну возможность дальнейшего совершенствования обсуждаемой методики. На рис. 3б приведена схема комбинированного поляриметра, реализация которой повысит эффективность использования ионного пучка, рабочего времени ускорителя, регистрирующей и измерительной аппаратуры. Такой прибор позволит за одну экспозицию получать экспериментальные данные для определения поляризации при двух углах $\theta_1 < 90^\circ$ и $\theta_2 > 90^\circ$. С помощью программы для вычисления геометрического фактора и средней поляризационной способности ^{/4/} можно найти оптимальную геометрию и для комбинированной схемы эксперимента. Разумеется в таком поляриметре возможно использование как кольцевых анализаторов, так и упоминавшихся выше анализаторов цилиндрической формы. При проведении измерений поляризации частиц под углами "вперед" ^{/2/} и "назад" ^{/см. рис. 1/} остается недоступной для исследования область углов вылета частиц около 90° ($75^\circ < \theta < 105^\circ$). В предлагаемом комбинированном поляриметре удастся значительно уменьшить этот интервал.

Авторы выражают благодарность сотрудникам механических мастерских за качественное изготовление поляриметра, Б.П.Осипенко за предоставление кольцевых полупроводниковых детекторов, Ф.Асфуру за участие в начальной стадии данной работы, И.А.Чепурченко и группе эксплуатации ЭГ-5 за обеспечение бесперебойной работы ускорителя.

Литература

1. Proc. of the Third International Symposium "Polarization Phenomena in Nuclear Reactions". Ed. by H.H.Barschall and H.Haeberli, USA, Madison, 1970.
2. М.И.Кривопустов, И.В.Сизов, Г.Ширмер, Г.Элер. Препринт ОИЯИ, Р15-3504, Дубна, 1967.
3. M.I.Krivopustov, I.W.Sizov, G.Schirmer, H.Oehler. Proc. of the Second Conf. on Nucl. Reactions with Light Nuclei and Nuclear Structure, 1967, Rossendorf, p. 140.
4. H.Oehler, M.Krivopustov, G.Schirmer, I.V.Sizov, F.Asfour. Nucl. Instr. and Meth., 77, 293 (1970).
5. Р.Краузе, И.В.Сизов, Г.Элер. Препринт ОИЯИ, Р-2725, Дубна, 1966.
6. Proc. of the International Symposium on Polarization Phenomena of Nucleons, Basel, 1960.
7. а/ Г.Элер, М.И.Кривопустов, Г.-И.Вибике, Ф.Асфур, И.В.Сизов, Г.Ширмер. Сообщение ОИЯИ, Р15-5156, Дубна, 1970.
б/ см. также /1/ стр. 619.
8. M.Deutscher, G.Heinrich, E.Hentschel. Nucl. Instr. and Meth., 71, 301 (1969).
9. R.B.Galloway. Nucl. Instr. and Meth., 92, 537 (1971).
10. М.В.Арцимович, А.И.Малько, В.И.Сорока. Программа и тезисы докладов ХХIV Совещания по ядерной спектроскопии и структуре атомного ядра /Харьков, 1974/. Ленинград, Наука, 1974, стр. 357.

Рукопись поступила в издательский отдел
5 июля 1974 года.